

Table of Contents

	Page
1 The Element Fluorine	1
1.1 Occurrence. Raw Materials. Production Volume	1
1.2 Preparation of Elemental Fluorine	1
1.2.1 Review in English	1
Review in German	2
1.2.2 Preparation by Electrochemical Methods	4
In the Laboratory	4
Electrolytic Cells	4
Medium-Temperature Cells	4
High-Temperature Cells	7
Purification	10
Industrial Preparation	11
Operating and Material Data	11
Electrolytic Cells	13
Procedure of Industrial Electrolysis	13
With KF-HF Electrolytes	13
Anodes	16
Anodic Polarization	19
Kinetics of F ₂ Deposition	21
With Other Electrolyte Compositions	22
Purification	23
Specifications. Estimation. Purity Testing	24
1.2.3 Preparation by Non-electrolytic Methods	25
1.2.4 Handling. Storage. Transport	25
Materials	25
Transport. Storage	27
1.2.5 Toxicity. Protection	28
1.2.6 Disposal	29
1.2.7 Uses	30
1.3 Generation, Detection and Concentration Measurements of Fluorine Atoms	30
1.3.1 Generation of Fluorine Atoms	30
By Dissociation of Molecular Fluorine	30
By Dissociation of Fluorine Compounds	32
By Chemical Reactions	33
1.3.2 Detection and Concentration Determination	34
1.4 Preparation of the Radioisotopes of Fluorine	36
1.5 Nuclides, Atoms, Ions	37
1.5.1 Nuclides	37
1.5.2 Atomic Weight	37

	Page
1.5.3 Atom, Positive and Negative Ions	38
Atomic and Ionic Radii	38
Electric Polarizabilities, Shielding Factors	39
Diamagnetic Susceptibility, Magnetic Quadrupole Polarizability, Diamagnetic Nuclear Shielding	40
Electron Affinity	41
Proton Affinity	42
Ionization Energies	42
Binding Energies of Inner Electrons, X-Ray Levels, Auger Transitions, Fluorescence Yield.	43
Optical Spectra, Atomic Energy Levels	44
Electron Spin Resonance	48
Thermodynamic Functions	49
Interaction with Radiation	49
Interaction with Particles.	51
1.6 The F₂ Molecule	53
1.6.1 Electron Configuration, Electronic Spectra	53
1.6.2 Ionization Potentials, Photoelectron Spectrum, Electron Affinity.	57
1.6.3 Polarizability, Quadrupole Moment, Field Gradient.	59
1.6.4 Magnetic Constants	60
1.6.5 Rotations, Vibrations, Internuclear Distance	63
1.6.6 Dissociation Energy.	66
1.6.7 Quantum Chemical Calculations	70
1.7 Crystal Properties, Lattice Vibrations	79
1.8 Mechanical and Thermal Properties	82
1.8.1 Density, Molar Volume	82
1.8.2 Viscosity, Diffusion Coefficient.	83
1.8.3 Sound Velocity, Absorption, Dispersion.	85
1.8.4 pVT and ppT Data, Equations of State	86
1.8.5 Melting Curve, Triple Point	87
1.8.6 Vapor Pressure, Boiling Point	87
1.8.7 Critical Constants, Joule-Thomson Inversion Curve	88
1.8.8 Heat of Vaporization	88
1.8.9 Heat Capacity, Thermodynamic Functions.	89
1.8.10 Thermal Conductivity	92
1.9 Optical and Electrical Properties	93
1.10 Electrochemical Behavior.	94
1.11 Chemical Reactions	94
1.11.1 Preliminary Remarks	94
1.11.2 Dissociation — Recombination Reactions of Fluorine	95
Dissociation Equilibrium	95

	Page
Thermal Dissociation and Recombination	96
Thermal Dissociation	96
Recombination	97
Dissociation by Electron Impact	98
Photodissociation	100
1.11.3 Isotope Exchange Reactions	101
1.11.4 Reactions with Elements	102
Reactions with Noble Gases	102
Reactions Leading to Noble-Gases Excimers	105
Reactions with Hydrogen	107
Stability of F₂-H₂ Mixtures	107
F₂-H₂ Propellant Systems	114
Flames	115
Elementary Reactions	117
Review	117
The Reaction F + H₂ $\xrightarrow{k_1}$ HF + H	118
Overall Reaction Rate	118
Product Energy Distribution	121
Theoretical Reaction Dynamics	123
The Reaction F + D₂ $\xrightarrow{k_2}$ DF + D	127
Intermolecular Kinetic Isotope Effect for the Reactions F + H₂ $\xrightarrow{k_1}$ HF + H and F + D₂ $\xrightarrow{k_2}$ DF + D	129
Intermolecular Kinetic Isotope Effect for the Reactions F + HD $\xrightarrow{k_3}$ HF + D and F + HD $\xrightarrow{k_4}$ DF + H	130
The Reaction F + T₂ \rightarrow TF + T	131
The Reaction H + F₂ $\xrightarrow{k_5}$ HF + F	132
Overall Reaction Rate	132
Product Energy Distribution	133
Theoretical Reaction Dynamics	134
The Reaction D + F₂ $\xrightarrow{k_6}$ DF + F	135
The Reaction T + F₂ \rightarrow TF + F	136
The Reaction Mu + F₂ \rightarrow MuF + F	136
The Reaction H + F + M \rightarrow HF + M	137
The Reactions F⁺ + H₂, D₂	138
Reactions with Oxygen and Ozone	139
Reactions with Nitrogen	141
Reactions with Halogens	142
Chlorine	142
Bromine	143
Iodine	144
Reactions with Sulfur, Selenium, Tellurium, Polonium	145
Reactions with Boron	146
Reactions with Carbon	147
Reactions with Silicon	148
Reactions with Phosphorus, Antimony, Bismuth	149
Reactions with Alkali Metals	150
Reactions between F⁻ and M⁺ Ions in the Gas Phase	150
Reactions between F Atoms and M Atoms	150
Reactions between F₂ and M Atoms	150

	Page
Reactions between Li ₂ and F Atoms	152
Reactions between M ₂ and F ₂	152
Reactions with Alkaline Earths	153
Reactions with Zinc, Cadmium, Aluminium, Thallium	154
Reactions with Rare Earth Metals.	155
Reactions with Titanium, Zirconium, Germanium, Tin, Lead	155
Reactions with Vanadium, Niobium, Tantalum	156
Reactions with Chromium, Molybdenum, Tungsten, Uranium	157
Reactions with Manganese, Nickel, Cobalt, Iron	158
Reactions with Copper, Silver, Gold.	160
Reactions with Platinum Metals	162
Reactions with Techneium and Rhenium	163
Reactions of Various Elements with F ₂ -O ₂ Mixtures	163
1.11.5 Reactions with Compounds	164
Reactions with H ₂ O and H ₂ O ₂	164
Reactions with NH ₃	165
Reactions with HN ₃	165
Reactions with Hydrogen Halides.	166
With HF	166
With HCl.	166
With HBr	167
With HI	168
Reactions with H ₂ S	169
Reactions with Silanes and GeH ₄	170
Reactions with Oxides.	171
With Non Metallic Oxides	171
With Nitrogen Oxides.	171
With Halogen Oxides	172
With Sulfur Oxides	173
With Carbon Oxides	174
Reactions with a Variety of Metal Oxides and Metal Oxide-Salt Mixtures	176
With Interhalogen Compounds	180
Reactions with Halides and Oxide Halides.	181
With Compounds of Nonmetals	181
With Compounds of Metals	184
Reactions with a Variety of Complex Salts and Salt Mixtures	187
Reactions with Pseudohalides and Related Compounds.	191
Reactions with Nitrides, Sulfides, Selenides, Borides and Carbides.	192
Reactions with Salts of Oxoacids and Fluorooxoacids	194
Reactions with Metal Carbonyls	195
Reactions with Organic Compounds	196
1.12 The F₂⁺ and F₂²⁺ Ions.	196
1.13 The F₂⁻ Ion	198
1.14 The F₃²⁻ Ion	206
Table of Conversion Factors	209

Fluorine

1 Das Element Fluor

1.1 Vorkommen, Rohstoffe, Produktionsmengen

Allgemeine Literatur s. S. 2

Die wichtigsten Fluorminerale sind Flußspat (CaF_2), Kryolith (Na_3AlF_6) und Fluorapatit ($\text{CaF}_2 \cdot 3 \text{Ca}_3(\text{PO}_4)_2$) mit mittleren F-Gehalten von 48.5, 54 bzw. 3.5% [1, S. 590], Massonne [2], English [3]. Die Flußpatvorräte der Welt werden 1974 auf 135 000 000 t CaF_2 geschätzt [1, S. 603]. Etwa 53% des gesamten CaF_2 -Verbrauches wurden 1972/73 in Form von Säurespat (CaF_2 -Gehalt > 97%) von der chemischen Industrie zur Gewinnung von HF verbraucht [1, S. 606]. Neuerdings gewinnt der Fluorgehalt in den natürlichen Phosphaten als Fluorrohstoff zunehmende Bedeutung. Mit einem Gehalt von ≈ 3 bis 4 Gew.-% Fluor enthalten Phosphatminerale die größten Fluorreserven der Welt. Bei der Herstellung von Superphosphaten und Phosphorsäure auf nassem Wege wird das als Fluorapatit in den Phosphatmineralien vorhandene Fluor in Form von SiF_4 und HF in Freiheit gesetzt und aus Umweltschutzgründen in modernen Anlagen gewonnen. Dieser zwangsläufige Anfall von SiF_4 und HF dürfte in Zukunft die wichtigste Rohstoffquelle für die gesamte industrielle Fluorchemie darstellen [1, S. 590], s. auch beispielsweise [2 bis 5]. 1974 betrug die F_2 -Produktion 137 000 t, der Verbrauch aber 689 000 t. Für die Diskrepanz zwischen Produktion und Verbrauch wird keine Erklärung gefunden, Gardiner [6].

The Element
Fluorine

Occurrence.
Raw
Materials.
Production
Volume

Literatur:

- [1] M. Wechsberg, W. Schabacher, H. Niederprüm, S. Schneider, V. Beyl (Ullmanns Encyclopädie der technischen Chemie, 4. Aufl., Bd. 11, 1976, S. 587/630). — [2] J. Massonne (Chemiker-Ztg. **96** [1972] 65/75). — [3] M. English (Chem. Process Eng. **48** Nr. 12 [1967] 43/7). — [4] H. R. Leech (Chem. Ind. [London] **1960** 242/50). — [5] E. D. Fainberg, O. E. Edel'shtein (Khim. Prom. **1959** Nr. 2, S. 24/31 (116/23)).
[6] W. C. Gardiner (J. Electrochem. Soc. **125** [1978] 22C/29C).

1.2 Darstellung von elementarem Fluor

Preparation
of Ele-
men-
tal Fluorine

1.2.1 Review

Review in
English

As one of the strongest oxidation agents, elemental fluorine is prepared only by electrochemical methods. Purely chemical methods of preparation have been suggested (see p. 25); but often the necessary starting compounds, e.g. $\text{IF}_7 \cdot \text{AsF}_5$, can only be obtained by using elemental fluorine.

Fluorine is prepared both in the laboratory and commercially by electrolyzing anhydrous hydrofluoric acid. KF is added to the HF to increase its conductivity. Applied potential is between 8 and 12 V. Hydrogen is liberated at the cathode; fluoride ions are oxidized to fluorine at the anode. The electrolysis cell is designed to avoid mixing of the two gases.

Methods of electrolysis are categorized as either low-, medium-, or high-temperature, according to the temperature of the electrolyte, which, in turn, is related to the electrolyte

composition. In the low-temperature (15 to 50°C) method, the electrolyte composition ranges from KF · 6.7 HF to KF · 2.5 HF and Ni anodes are used. The medium-temperature (70 to 130°C) method uses electrolytes in the range KF · 2.5 HF to KF · 1.8 HF and carbon anodes. Formerly, Ni anodes were also used. In the high-temperature (245 to 310°C) method, the electrolyte is KHF₂ and graphite anodes are used.

Today, almost all commercial fluorine is produced in medium-temperature cells with graphite-free carbon anodes. The development of these cells stretches back to World War II when the USA needed fluorine to produce UF₆ for the Manhattan Project and Germany needed fluorine to produce ClF₃.

Review in German

Überblick

Als eins der stärksten Oxidationsmittel wird elementares Fluor nur auf elektrochemischem Wege dargestellt. Es liegen zwar einige Vorschläge für rein chemische Darstellungsmethoden vor, s. S. 25. Häufig sind die hierfür benötigten Ausgangsverbindungen, wie beispielsweise JF₇ · AsF₅, aber nur über elementares Fluor darstellbar.

Fluor wird im Laboratorium und in der Technik durch Elektrolyse von wasserfreier Flußsäure hergestellt. Zur Erhöhung der Leitfähigkeit wird KF zugesetzt. Man elektrolysiert bei Spannungen zwischen 8 und 12 V, wobei an der Kathode Wasserstoff frei wird und an der Anode das Fluorid-Ion zu Fluor oxidiert wird. Die an Anode bzw. Kathode gebildeten Elektrolysegase werden über voneinander getrennte Gasräume abgezogen. Je nach Elektrolytzusammensetzung unterscheidet man allgemein drei Elektrolyseverfahren:

Beim Tieftemperaturverfahren wird ein Elektrolyt der Zusammensetzung KF · 6.7 HF bis KF · 2.5 HF bei 15 bis 50 °C an Nickelanoden elektrolysiert. Das Mitteltemperaturverfahren arbeitet mit einem Elektrolyt der Zusammensetzung KF · 2.5 HF bis KF · 1.8 HF bei 70 bis 130 °C mit Kohleanoden (früher auch Ni). Beim Hochtemperaturverfahren wird KHF₂ an Graphitanoden bei 245 bis 310 °C elektrolysiert.

Technische Fluorzellen arbeiten heute fast ausschließlich nach dem Mitteltemperaturverfahren mit Anoden aus graphitfreiem Kohlenstoff. Sie sind das Ergebnis einer langen technischen Entwicklung, die während des 2. Weltkrieges in den USA im Rahmen des Atomenergieprojekts „Manhattan“ (Herstellung von UF₆) und etwa zur gleichen Zeit in Deutschland (Herstellung von ClF₃) einsetzte.

Allgemeine Literatur:

- Ullmanns Encyklopädie der technischen Chemie, 4. Aufl., Bd. 11, Weinheim/Bergstr. 1976, S. 589/95, 3. Aufl., Erg.-Bd., München-Berlin 1970, S. 447/9, 3. Aufl., Bd. 7, München-Berlin 1956, S. 577/605.
- Kirk-Othmer, Encyclopedia of Chemical Technology, 2. Aufl., Bd. 9, New York-London-Sydney 1966, S. 506/26.
- A. J. Rudge, The Manufacture and Use of Fluorine and Its Compounds, London-New York-Toronto 1962, S. 19/45.
- A. J. Rudge, in: A. Kuhn, Industrial Electrochemical Processes, Kap. 1, Amsterdam 1971, S. 1/69.

W. Kwasnik, Fortschritte in der Fluor-Herstellung und elektrochemischen Fluorierung anorganischer Verbindungen, *Fortschr. Chem. Forsch.* **B** [1967] 309/20.

Siehe ferner:

- L. Kolditz, Fluorchemie — Rohstoffe und Produkte, *Mitt.-Bl. Chem. Ges. DDR* **23** Nr. 8 [1976] 169/77, L. Kolditz, Fluorchemie und ihre Möglichkeiten, *Budushchee Nauki* Nr. 9 [1976] 126/39.
- S. Ahrland, Fluorine, *The Most Reactive of the Elements*, *Kem. Tidskr.* **88** Nr. 12 [1976] 22
- A. Yu. Shagalov, T. I. Belyakov, Preparation Methods, Properties and Use of Fluorine and Its Inorganic Compounds, *Bibliographic Index of Soviet and Foreign Literature for 1955—1969*, Nr. 2, Tl. 1: *Bibliography for 1961—1965*, Leningrad 1976 nach C. A. **86** [1977] Nr. 83084, Nr. 1, Tl. 1/2: *Bibliography for 1966—1969*, Leningrad 1975 nach C. A. **85** [1976] Nr. 86559, Nr. 201 461.
- A. T. Kuhn, Fluorine, *Encyclopedia of Electrochemistry of the Elements*, Bd. 4, Dekker, New York 1975, S. 43/86.
- R. J. Ring, D. Royston, A Review of Fluorine Cells and Fluorine Production Facilities, AAEC/E-281 [1973] 1/77; C. A. **80** [1974] Nr. 140412.
- T. A. O'Donnell, Fluorine, in: *Comprehensive Inorganic Chemistry*, Bd. 2, Oxford 1973, S. 1009/106.
- N. Watanabe, M. Haruta, Fluorine Production, *Kagaku Kogyo* **23** [1972] 615/21; C. A. **77** [1972] Nr. 12980.
- A. V. Fokin, Chemistry of Fluorine Today and Tomorrow, *Budushchee Nauki* Nr. 4 [1971] 160/74.
- A. Level, Industrial Fluorine Chemistry, *Chim. Ind. Genie Chim.* **102** [1969] 1077/82.
- A. Czerkawski, W. Dmowski, A. Ostaszynski, History of Elemental Fluorine Production and Its Uses, *Przemysl Chem.* **48** [1969] 389/93.
- J. D. Navratil, Fluorine. A Hostile Element, *Chemistry* **42** [1969] 11/5.
- N. P. Galkin, A. B. Krutikov, *Tekhnologiya Ftora*, Moskva 1968, S. 1/187.
- J. Robin, Le Fluor, *Chim. Mod.* **12** Nr. 76 [1967] 27/30.
- J. M. Siegmund, Production, Handling and Shipping of Elemental Fluorine, *Chem. Eng. Progr.* **63** Nr. 6 [1967] 88/92.
- S. Sampath, The Production of Fluorine, *Trans. Soc. Advan. Electrochem. Sci. Technol.* **2** [1967] 14/20.
- H. W. Schmidt, Handling and Use of Fluorine and Fluorine-Oxygen Mixtures in Rocket Systems, *NASA-SP-3037* [1967] 1/279; C. A. **67** [1967] Nr. 92479.
- W. Kwasnik, Fluor-Herstellung und elektrochemische Fluorierung, *Chem. Ingr. Tech.* **36** [1964] 690/2.
- D. Sianesi, Modern Aspects and Developments in Fluorine Chemistry, *Chim. Ind. [Milan]* **46** [1964] 883/94.
- I. L. Knunyants, A. V. Fokin, *Pokorenie Nepristupnogo Elementa* [Fluorine] Moskva 1963, S. 1/189; Mastering the Inaccessible Element [Fluorine], Springfield, Va., 1965, S. 1/192.
- Fluorine and Fluorine Compounds OTS Selective Bibliography SB-491 [1962] 1/16; N. S. A. **16** [1962] Nr. 21 997.
- H. R. Leech, Some Aspects of Inorganic Fluorine Compounds in Chemical Industry, *Chem. Ind. [London]* **1960** 242/50.
- K. Matiasowsky, M. Gregor, Production of Elementary Fluorine, *Chem. Listy* **53** [1959] 138/42.
- W. Augustyn, J. Chmiel, M. Grobelny, Fluorine and Its Inorganic Compounds, Technology and Application, *Chemik [Gliwice]* **12** [1959] 53/7.

- S. F. Lanier, U. S. Atomic Energy Commission Reports on Elemental Fluorine, TID-3507 [1957] 1/13; N.S.A. 11 [1957] Nr. 7956.
- A. J. Rudge, The Present Status of Fluorine Production, Chem. Ind. [London] 1956 504/11.
- E. Lignau, Das Verhalten der Werkstoffe gegenüber Fluor, Werkstoffe Korrosion 7 [1956] 634/41.
- I. L. Knunyants, A. V. Fokin, Fluorine and Its Compounds, Priroda [Moskva] 44 Nr. 8 [1955] 3/19; AEC-tr-2877 [1955] 1/17; N.S.A. 11 [1957] Nr. 5799.
- S. Katz, Literature Survey for the Fluorine Generation Program, AECD-4230 [1951/56] 1/28; N.S.A. 10 [1956] Nr. 8782.
- E. M. Ott, Fluorine. New Fluorspar Deposits, New Methods for Recovering Fluorides from Phosphate Rock, New Markets – All these Point to a Bright Future of Fluorine Chemicals, Chem. Eng. News 31 [1953] 1626/8.

Preparation by Electrochemical Methods 1.2.2 Darstellung auf elektrochemischem Weg

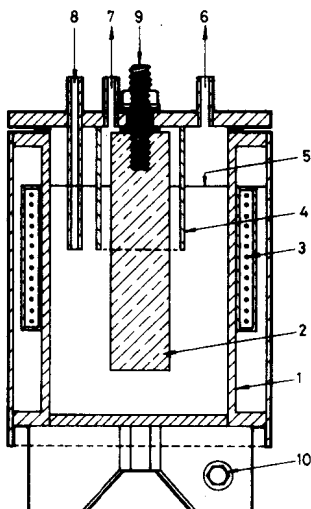
In the Laboratory 1.2.2.1 Im Laboratorium

Electrolytic Cells 1.2.2.1.1 Elektrolysezellen

Medium Temperature Cells Mitteltemperaturzellen

Die Figg. 1 bis 4, S. 4 bis 7, zeigen als Beispiele Schnittbilder von F₂-Elektrolysezellen, wie sie bei der Laboratoriumsdarstellung verwendet werden. In Tabelle 1, S. 8/9, sind charakteristische Daten von Zellen zur Fluorherstellung im Laboratorium zusammengestellt.

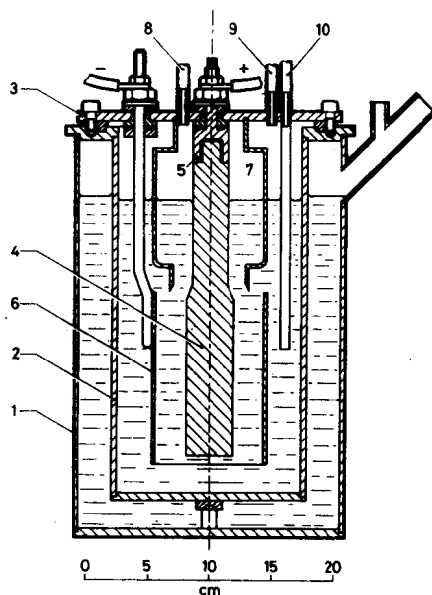
Fig. 1



Laboratoriumszelle nach Rudge [11].

1 Stahlkathode, 2 Kohleanode (gasdurchlässige Kohle), 3 elektrische Heizung, 4 Trennschürze, 5 Elektrolytniveau, 6 H₂-Auslaß, 7 F₂-Auslaß, 8 HF-Einlaß, 9 Anodenanschluß, 10 Kathodenanschluß.

Fig. 2



Laboratoriumszelle nach Schumacher, Schaefer [3].

1 Ölbad, 2 Elektrolyttopf, 3 Monelflansch mit 4 Kohleanode, 5 Anodenanschlußstück, 6 Monelkathode, 7 Anodenraum, 8 F₂-Auslaß, 9 H₂-Auslaß, 10 HF-Speisung.

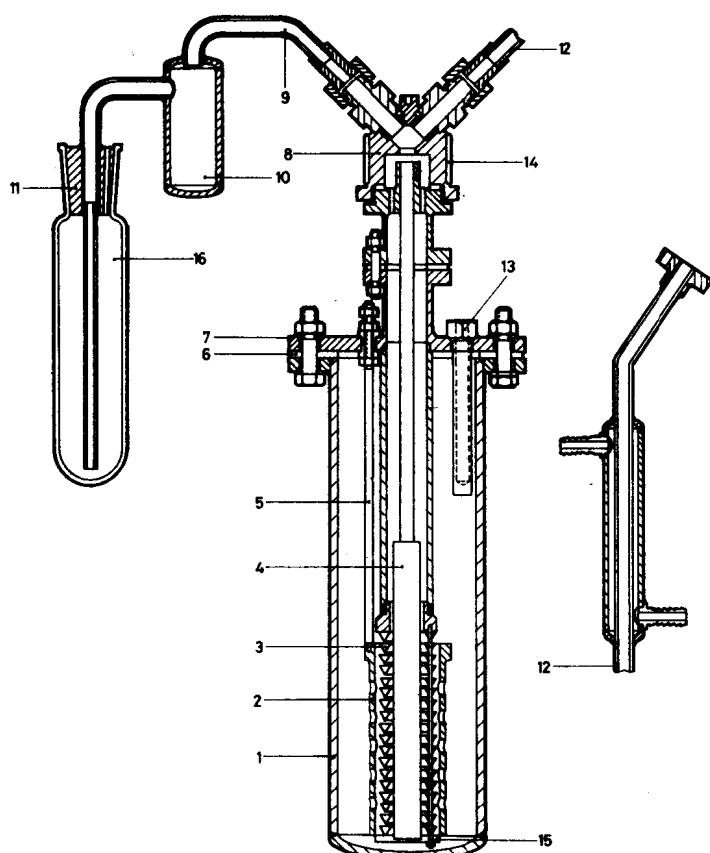
Die meist zylindrischen Elektrolysezellen (verwendete Materialien s. Tabelle 1, S. 8/9) werden elektrisch beheizt [3 bis 5, 7, 8] oder sind von einem Heizmantel umgeben für ein Ölbad [1, 3] oder Wasserbad [6]. Das gesamte Zellsystem (Kathode, Anode, Diaphragma, F₂-Auslaß, H₂-Auslaß, HF-Speisung) ist am Zellendeckel (Monel, Stahl) befestigt, vgl. Figg. 1 bis 4, S. 4 bis 7. Alle Dichtungen und Isolationsteile bestehen, soweit sie mit Fluor in Berührung kommen, aus Teflon.

Ein wesentliches Problem bei der elektrolytischen F₂-Herstellung ist die Frage des Anodenmaterials, vgl. auch S. 16. Während für technische Einheiten durchweg Kohle verwendet wird, ist für kleine Einheiten Ni vorzuziehen, da die Beschaffung einer Kohle geeigneter Qualität Schwierigkeiten bereiten kann [2], vgl. auch [4]. An Ni treten zudem kaum Polarisationserscheinungen auf [2].

Bei Verwendung von poröser Sinterkohle als Anode kann auf ein Diaphragma verzichtet werden, da das Fluor nach geeigneter Vorbehandlung der Anode (zur Beseitigung der Polarisationsphänomene) durch das Innere der Sinterkohle nach oben steigt. Zur Vorbehandlung der Anode wird die Spannung stufenweise bis auf 25 V erhöht und ≈ 10 min auf diesem Wert gehalten. Offenbar wird dadurch die Kohleoberfläche verändert (z.B. Bildung oder Abbau einer (CF)_n-Schicht) und der in die Poren eingedrungene Elektrolyt wandert aus der Anode heraus [3], vgl. auch [12].

**Electrolysis
Cells**

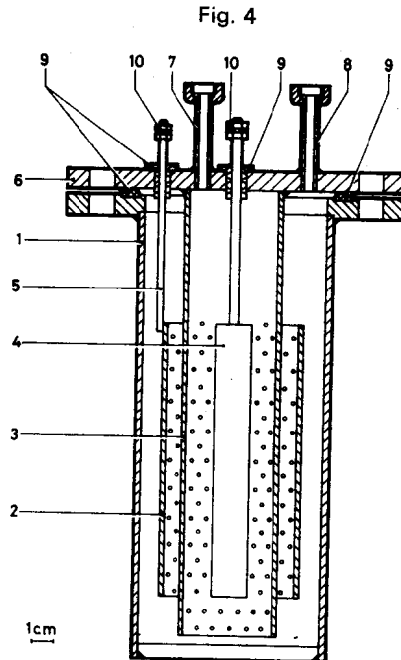
Fig. 3



Laboratoriumszelle nach Schmeisser, Scharf [2].

1 Elektrolysegefäß, 2 Kathode, 3 Diaphragma, 4 Anode, 5 Kathodenhalter (Aufhängebolzen), 6 Teflondichtung, 7 Verschlußflansch, 8 Aufsatz- oder Verschlußkopf, 9, 10, 11 Überdruckventil, 12 Fluorableitung und Kühler, 13 Thermometerstutzen, 14 Heizung für Verschlußkopf, 15 Teflon-Justierscheibe für die Anode, 16 Glasfalle für Flüssigkeitsverschluß.

Der Elektrolyt wird aus trocknem KHF₂ und wasserfreiem HF hergestellt [2 bis 5, 7]. So werden beispielsweise 5 kg getrocknetes KHF₂ portionsweise in den Elektrolysetopf gefüllt und gleichzeitig aus einer Fluorwasserstoffbombe 2.5 kg wasserfreies HF unter Rühren eindestilliert [2]. Das verbrauchte HF wird chargeweise wieder einkondensiert [1, 3, 4, 7]. KHF₂ kann im Laboratorium aus KOH und Flußsäure hergestellt werden. Die Lösung wird im Cu-Kessel eingedampft und das ausgefällte KHF₂ in Luft bei 120°C getrocknet [7]. Oder KF wird mit 50%iger wäßriger HF-Lösung behandelt und anschließend durch Verdampfen und Erhitzen entwässert [8]. Wasser kann aus dem Elektrolyten durch Elektrolyse mit Ni-Anoden



Laboratoriumszelle nach Malatesta, Sesini [8].

1 Stahlbehälter, 2 Kathode, 3 Diaphragma, 4 Ni-Anode, 5 Kathodenhalter, 6 Verschlußflansch,
7 F_2 -Auslaß, 8 H_2 -Auslaß, 9 Teflondichtung und -isolierung, 10 Stromzuführungen.

entfernt werden [2, 7]. So wird beispielsweise von Slivnik u.a. [7] 2 d bei 10 A (5 bis 6 V, 80 °C) unter kräftigem Rühren elektrolysiert. Die Stromstärke soll während der Trocknungszeit nur langsam erhöht werden, da sonst Explosionen im Generator auftreten. Wenn die Leitfähigkeit ein Minimum erreicht hat, ist die Schmelze praktisch wasserfrei [2]. Zur Verringerung der Polarisationserscheinungen wird dem Elektrolyten ≈ 1 Gew.-% LiF zugesetzt [4, 5, 8].

Hochtemperaturzellen

Bei der von Aymonino u.a. [9] beschriebenen Zelle dient das Cu-Gefäß gleichzeitig als Kathode. Die Anode ist aus Acheson-Graphit und ist an einer Cu-Stange aufgehängt. Das perforierte Diaphragma ist unten geschlossen. Der Elektrolyt ist KHF_2 (KF · HF). Die Zelle arbeitet bei 262 °C, 15.6 A, 7.7 V (Spannung zwischen Anode und Kathode). Anodenstromdichte: 13.5 A/dm², die Stromausbeute beträgt $\approx 75\%$. — Eine ähnliche Zelle mit einer Kapazität von etwa 700 g F_2/d beschreiben Camozzo, Pizzini [13]. — Raducanu, Hagymas [10] verwenden eine Zelle mit Cu-Diaphragma (42 mm innerer Durchmesser, 46 mm äußerer Durchmesser). Das Diaphragma ist im unteren Teil perforiert bis etwa 20 mm vom Boden. Dem Elektrolyten (KHF_2) werden etwa 2 % LiF zugesetzt. Wasser wird durch Vorelektrolyse ohne Diaphragma bei 5 bis 9 A/dm² Anodenstromdichte und 2.7 bis 3 V entfernt. Die Stromausbeute der Zelle beträgt maximal 85% bei 250 °C und einer Anodenstromdichte von 19.2 bis 22.8 A/dm².

High-Tem-
perature
Cells

Tabelle 1
Charakteristische Daten von Elektrolysezellen zur Fluorherzeugung im Laboratorium (Temperatur t, Stromstärke I, Stromausbeute α).

Lit.	Gefäß	Kathode	Material Anode	Diaphragma	Elektrolyt KF · xHF	t in °C	I in A	α in %	Leistung	Anmerkung
Haas [1]		Monel	poröse Sinterkohle oder Ni	ja (keine Angabe über Material)	= 1.8 2.2	100 bis 110	20	—	$\approx 14 \text{ g } F_2/\text{h}$	Die Kathode umgibt die Anode konzentrisch.
Schmeisser, Scharf [2]	Fe	Fe-Zylinder, perforiert	Ni	Cu	x = 3	75	6 bis 7	—	$3 \text{ l } F_2/\text{h}$ bei 7 A	Am Boden der Zelle befindet sich eine Teflon-Justierscheibe für die Anode (s. Fig. 3, S. 6).
Schumacher, Schaefer [3]	Weichstahl	Weich-Monel	poröse Sinterkohle	nicht erforderlich	x = 1.8 bis 2.2	100 bis 120	20	98	$14 \text{ g } F_2/\text{h}$	Die Anode ist von einer Glocke aus Monel umgeben. Der Abstand Anode-Kathode beträgt 20 mm (s. Fig. 2, S. 5).
Peka, Sykora [4]	Monel	Monel	Ni	Monel	x = 1.8 bis 3	90 bis 100	50	—	$25 \text{ g } F_2/\text{h}$	
Bouy [5]	Cu	Cu-Zylinder, perforiert	Ni	Teflon	x = 2 bis 3	70 bis 100	8 bis 15	80	$3 \text{ bis } 5 \text{ l } F_2/\text{h}$	Die Anode ist von einer Cu-Glocke umgeben.
Zuliani, Favero [6]	Stahl	Fe-Zylinder	Ni	—	x = 2	90 bis 100	2 bis 10	—		Die Anode ist von einer Fe-Glocke umgeben. An die Glocke wird ein Potential derart ange-

T299 A 1

Slivnik, Smalc, Zemljic [7]	Fe	Fe-Blech	Kohle (graphit- frei)	$x = 1.8$ bis 2.1	90	80	95	55 g F ₂ /h	
Malatesta, Sesini [8]	Stahl	Stahl (?) perfo- riert er Zylinder	Ni	Cu	$x = 1.8$ bis 2	80 bis 100	—	—	s. Fig. 4, S. 7.
Rudge [11]	Stahl	Gefäß	gasdurch- lässige Kohle	nicht erforder- lich	$x = 2$	80 bis 90	10	—	In die gasdurchlässi- ge Kohleanode ist ein Cu-Rohr eingelassen, das gleichzeitig als Stromzuführung und F ₂ -Auslaß dient.
Watanabe, Boo, Yoshizawa [12]	Weich- stahl	Fe-Netz	Kohle	Cu, unterer Teil Fe-Netz	$x = 1.86$ bis 2.2	70 bis 110	—	—	Dem Elektrolyten wer- den 1 bis 2 Gew.-% LiF zugesetzt. H ₂ O wird durch Vorelek- trolyse mit einer Ni- Anode entfernt.

Literatur:

- [1] A. Haas (Chem. Unserer Zeit **3** [1969] 17/22). – [2] M. Schmeisser, E. Scharf (in: E. Müller, Houben-Weyl, 4. Aufl., Bd. 5, Tl. 3, 1962, S. 15/8). – [3] E. Schumacher, M. Schaefer (Helv. Chim. Acta **47** [1964] 144/50). – [4] I. Peka, F. Sykora (Chem. Listy **58** [1964] 969/75). – [5] P. Bouy (Ann. Chim. [Paris] [13] **4** [1959] 853/90, 855/63).
- [6] G. Zuliani, P. G. Favero (Ann. Chim. [Rome] **55** [1965] 22/31). – [7] J. Slivnik, A. Smalc, A. Zemljic (Vestn. Slovens. Kem. Drustva **9** [1962] 61/4). – [8] L. Malatesta, R. Sesini (Energia Nucl. [Milan] **3** [1956] 287/93, 290). – [9] P. J. Aymonino, J. E. Sicre, H. J. Schumacher (Anales Asoc. Quim. Arg. **43** [1955] 26/54, 30/2). – [10] C. Firoiu, I. Raducanu, G. H. Hagymas (Rev. Chim. [Bucharest] **13** [1962] 395/400; C. A. **58** [1963] 2141).
- [11] A. J. Rudge (Chem. Ind. [London] **1966** 482/8). – [12] N. Watanabe, T. Boo, S. Yoshizawa (Denki Kagaku **29** [1961] 245/50; J. Electrochem. Soc. Japan Overseas Ed. **29** [1961] 110/2). – [13] G. Camozzo, S. Pizzini (Energia Nucl. [Milan] **7** [1960] 849/61).

Purification**1.2.2.1.2 Reinigung**

Das die Elektrolysezelle verlassende Fluor ist hauptsächlich durch mitgerissenes HF verunreinigt. Weitere Verunreinigungen sind O₂, N₂, OF₂ und, bei Verwendung von C-Anoden, auch C-Fluoride.

Zur Entfernung der Hauptmenge des HF wie auch sonstiger kondensierbarer Verunreinigungen lässt man das Gas Kühlfallen bei –78 und –183 °C passieren. Zur weiteren Entfernung von HF wird das Gas über NaF (oder KF) geleitet (Bildung von NaHF₂), s. dazu beispielsweise [1 bis 7]. Kommerzielles Fluor enthält im allgemeinen 1 bis 2% Verunreinigungen: 0.5 Mol-% N₂, 0.4 Mol-% O₂, 0.2 Mol-% HF sowie OF₂, CF₄, C₂F₆, C₃F₈, CO, CO₂, SiF₄, Ar u.a. [8, 9].

Zur Entfernung von O₂ und/oder OF₂ lässt man das F₂-Gas durch eine Funkenstrecke in einem Monelblock strömen [2] oder man bestrahlt es mit UV-Licht (365 bis 366 nm) [10]; das gebildete O₂F₂ wird bei –183 °C auskondensiert. – OF₂ kann auch in einem mit Kupferwolle gefüllten, auf 400 bis 450 °C geheizten Eisenrohr thermisch zersetzt werden [3], vgl. auch Lo [11].

Zur Entfernung von N₂ und O₂ wurde von Dejachy [8] eine Destillationsmethode entwickelt, die auf Arbeiten von Greenberg u.a. [12] und Stein u.a. [13] zurückgeht. Die Destillation wird in einer Kolonne aus rostfreiem Stahl durchgeführt. Sie ist mit Helipack-Wendeln aus Ni gefüllt. Am Kopf der Kolonne wird das Destillat mit flüssigem N₂ kondensiert. Die ersten N₂-reichen Fraktionen des Destillats sowie die O₂-reichen Rückstände werden verworfen. Mit der Kolonne können 100 bis 200 g reines Fluor in 15 bis 16 h erhalten werden. Die chromatographische und massenspektrometrische Analyse ergibt noch einen Restgehalt von 200 bis 250 vpm O₂ und 370 bis 400 vpm N₂ [8]. Zur Reinigung für spektroskopische Zwecke wird das Fluor von Jacob [14] in einer Halbmikroringspaltkolonne hoher Trennleistung destilliert. Sie ist Bestandteil einer ultradichten und auf 450 °C ausheizbaren Metallapparatur. Der Gehalt des destillierten Fluors an Verunreinigungen lässt sich aus dem IR-Spektrum zu <10 ppb CF₄, <5 ppb SiF₄ und <1 ppm OF₂ abschätzen [14]. Vollständig O₂-freies Fluor, wie es für HF- bzw. DF-Laser gebraucht wird, stellen Jacob, Christe [9] aus kommerziellem F₂-Gas folgendermaßen her: 17 g F₂ und 2.1 g SbF₅ werden in einem 1.2 l Monoreaktor 2 h auf 460 K erhitzt, der Behälter auf 90 K gekühlt und das F₂ in einen auf 77 K gehaltenen Behälter umkondensiert. Nicht umgesetztes SbF₅ wird bei Zimmertemperatur abgepumpt. Es bleibt eine weiße feste Substanz O₂⁺Sb₂F₁₁⁻ zurück. Bei einer Wiederholung der Reinigungsprozedur wird kein O₂⁺-Salz mehr gebildet, das O₂ war also quantitativ entfernt [9]. Über eine Ni-Komplexverbindung [K₂NiF₆·KF] als Zwischenstufe verläuft eine von Asprey [15]

vorgeschlagene Reinigungsmethode. In einem Ni-Behälter von 850 ml Inhalt wird eine Mischung aus 3 mol NiF_2 und 9 mol KF nach einer Vorbehandlung mit F_2 (bei 500 °C und $\approx 10^6$ Pa) bei ≈ 250 °C fluoriert, bis kein Fluor mehr absorbiert wird. Nach Abkühlen auf 225 °C und Evakuieren zur Entfernung gasförmiger Verunreinigungen wird auf 400 °C erhitzt, wobei der F_2 -Druck 2.5×10^6 Pa (19×10^3 Torr) erreicht. Es wird folgende Zersetzungreaktion angenommen: $2 [\text{K}_2\text{NiF}_6 \cdot \text{KF}]_{\text{fest}} \rightarrow 2 \text{K}_3\text{NiF}_{6\text{fest}} + \text{F}_{2\text{gas}}$. Auch nach 20 Zyklen wird keine Änderung der Wirksamkeit des Salzes festgestellt. Der Reinheitsgrad des erhaltenen Fluors beträgt $\geq 99.7\%$ [15].

Literatur:

- [1] Jih-Heng Hu, D. White, H. L. Johnston (J. Am. Chem. Soc. **75** [1953] 5642/5). – [2] E. Schumacher, M. Schaefer (Helv. Chim. Acta **47** [1964] 144/50). – [3] M. Schmeisser, E. Scharf (in: E. Müller, Houben-Weyl, 4. Aufl., Bd. 5, Tl. 3, 1962, S. 15/8). – [4] L. Malatesta, R. Sesini (Energia Nucl. [Milan] **3** [1956] 287/93). – [5] J. Slivnik, A. Smalc, A. Zemljic (Vestn. Slovens. Kem. Drustva **9** [1962] 61/4).
- [6] P. Bouy (Ann. Chim. [Paris] [13] **4** [1959] 853/90, 862). – [7] A. J. Arvia, W. H. Basualdo, H. J. Schumacher (Z. Anorg. Allgem. Chem. **286** [1956] 58/80, 62). – [8] G. Dejachy, J. Gillardeau (Bull. Soc. Chim. France **1970** 2747/9). – [9] E. Jacob, K. O. Christe (J. Fluorine Chem. **10** [1977] 169/72). – [10] A. Smalc, K. Lutar, J. Slivnik (J. Fluorine Chem. **6** [1975] 287/9).
- [11] R. Lo (DVL-413 [1965]; C. A. **66** [1967] Nr. 91167). – [12] E. Greenberg, J. L. Settle, H. M. Feder, W. N. Hubbard (J. Phys. Chem. **65** [1961] 1168/72). – [13] L. Stein, E. Rudzitis, J. L. Settle (ANL-6364 [1961]; N.S.A. **15** [1961] Nr. 24840). – [14] E. Jacob (Z. Anorg. Allgem. Chem. **377** [1970] 267/72). – [15] L. B. Asprey (J. Fluorine Chem. **7** [1976] 359/61).

1.2.2.2 Technische Darstellung

1.2.2.2.1 Betriebs- und Materialdaten

Im folgenden wird eine Übersicht über Betriebs- und Materialdaten einiger technischer Zellen zur Herstellung von Fluor gegeben.

Industrial
Prep-
aration

Operating
and
Material
Data

Technische Fluorzelle

	Union Carbide	ICI	Usine Chimique de Pierrelatte	Montecatini
Betriebsdaten				
Stromstärke (in kA)	4.0 bis 6.0	5.0 bis 6.5	< 6	5
F_2 -Kapazität (in kg/h)	2.54 (bei 4 kA) bis 3.47 (bei 6 kA)	3.3	4	3.3
Stromausbeute (in %)	90 bis 95 (1955)	93	95 bis 96	90 bis 95
Spannung/Zelle (in V)	8 bei 4 kA, 12 bei 6 kA	10 bei 5 kA	8.5 bis 10	8.5 bis 9.5
Anodenstromdichte (in A/cm^2)	0.10 bis 0.15	0.18	0.13	0.07

	Union Carbide	ICL	Technische Fluorzelle Usine Chimique de Pierrelatte	Montecatini
Elektrolyttemperatur (in °C)	88 bis 104	80 bis 85	85 bis 100	95 bis 105
HF-Gehalt des Elektrolyten (in Gew.-%)	40 bis 42	40 bis 41.5	≈40 (KF · 2 HF)	39 bis 41
Lebensdauer der Zelle (in Jahren): mittlere —	—	1	—	—
: maximale —	—	2	—	—
Lebensdauer in A · h	16×10^6 bei 4 kA, 15.5×10^6 bei 6 kA		20×10^6	$> 10 \times 10^6$
Kühlwassertemperatur (in °C)				
Einlaß	≈76	≈65	—	60
Auslaß	≈79	≈67	—	—
Materialangaben und Zellenabmessungen				
Zellengröße (in cm)	226 × 96.5 × 104	302 × 71 × 56	—	200 × 100 × 60
Zellenkörper	Monel Stahl- mantel für Kühlung	Flußstahl	Monel	Monel
Kathode	Flußstahl	Flußstahl	Stahl	Eisen
Anode	graphitfreie Kohle	gasdurchlässige Kohle	Kohle	amorpher Kohlenstoff
Trennschürze	Monel	Monel	—	Monel
Diaphragma	Monel	nicht erforderlich	Monel	Monel
Zellendeckel	—	Stahl	—	Stahl
Elektrolytkapazität der Zelle (in kg)	1 550	1 730	—	1 250
Zahl der Anoden je Zelle	32	24	32	32
Literatur	[1 bis 6]	[7]	[8, 9]	[10]

Literatur:

- [1] S. P. Vavalides, R. E. Cable, W. K. Henderson, C. A. Powell (Ind. Eng. Chem. **50** [1958] 178/80). — [2] J. Dykstra, B. H. Thompson, W. C. Paris (Ind. Eng. Chem. **50** [1958] 181/6). — [3] A. P. Huber, J. Dykstra, B. H. Thompson (Proc. 2nd U.N. Intern. Conf. Peaceful Uses At. Energy, Geneva 1958, Bd. 4, S. 172/80). — [4] D. C. Brater, S. H. Smiley (Progr. Nucl. Energy III **2** [1958] 136/48). — [5] J. Jacobson, W. K. Henderson, T. P. Fleming, R. W. Levin, J. A. Marshall (Ind. Eng. Chem. **47** [1955] 878/83).
[6] J. Dykstra, S. Katz, C. B. Clifford, E. W. Powell, G. H. Montillon (Ind. Eng. Chem. **47** [1955] 883/7). — [7] A. J. Rudge (in: A. Kuhn, Industrial Electrochemical Processes, Amsterdam 1971, S. 1/69, 46/9). — [8] A. Level (Chim. Ind. Genie Chim. **102** [1969] 1077/82). — [9] M. Bergeret (Energie Nucl. **7** [1965] 93/9). — [10] D. Sianesi (Chim. Ind. [Milan] **46** [1964] 883/94).

1.2.2.2.2 Elektrolysezellen

Figg. 5 und 6. S. 14, zeigen Zellenkörper und Elektrodenanordnungen der Elektrolysezelle der Union Carbide [1 bis 5]. Der Zellenkörper aus Monel hat einen Stahlmantel für Kühlung und Heizung sowie zusätzlich zentrale Kühlrohre. Deckelplatten und Kathoden sind aus Stahl. An der Deckelplatte befestigte Monelschürzen trennen Anoden- und Kathodenräume. Anoden und Kathoden sind zusätzlich durch Monelsiebgewebe getrennt. Sie werden als Diaphragmen bezeichnet, haben aber vorwiegend die Funktion, innere Kurzschlüsse durch abgebrochene Anoden zu verhindern. Zwei parallel angeordnete Anodenträger aus rostfreiem Stahl tragen je acht Paare Kohleanoden, die mit Andruckplatten aus Kupfer und Schrauben befestigt sind [1 bis 4]. Eine Anlage mit einer F_2 -Kapazität von 3.4 t/d (für eine UF_6 -Anlage) basiert auf 40 Zellen (von je 6 kA) dieses Typs [3]. Ganz ähnlich konstruiert ist die Zelle der Firma Montecatini [6]. Die in einer Anlage der Allied Chemical Corporation verwendete Zelle ist besonders einfach gebaut. Der wassergekühlte rechteckige Zellenbehälter mit Mittelwand, der zugleich Kathode ist, besteht aus Flußstahl, der Zellendeckel mit den Schürzen zur Trennung von Anoden- und Kathodengasräumen aus einer Mg-Legierung. Die zwei Reihen Kohleanoden sind an Cu-Trägern befestigt. An den Längsseiten befinden sich die Ableitungen für F_2 und H_2 und ein Tauchrohr für die kontinuierliche Zufuhr von HF-Gas [7, 8]. Da die Arbeitsspannung einer F_2 -Zelle höher ist als die theoretische Zersetzungsspannung U von $KF \cdot 2HF$, ist die durch Kühlung abzuführende Wärmemenge Q beträchtlich. Bei Annahme von $U = 1.9V$, s. Watanabe u.a. [9], beträgt bei 6 V, 1 kA und 100% Stromausbeute $Q \approx 7000 \text{ kcal/h}$, bei 6 V, 5 kA und 100% Stromausbeute $Q \approx 35000 \text{ kcal/h}$, Rudge [10, S. 34]. Da Stromausbeute von 100% praktisch nicht erreicht werden (vgl. Tabelle S. 11), ist in der Praxis die abzuführende Wärmemenge noch größer: Je 10% Abnahme der Stromausbeute entsprechen einer zusätzlichen Wärmeproduktion von 242 kcal/h bei 1 kA [10, S. 34]. Dykstra u.a. [2] geben für den Betrieb einer Zelle bei 9.5 V und 4 kA bei Annahme von $U = 2.85V$ und 100% Stromausbeute $Q = 23000 \text{ kcal/h}$ an. Der Wert ist etwa 3400 kcal oder 13% zu niedrig [10, S. 34]. Bei 6 kA werden etwa 37000 kcal/h frei. Etwa 3000 kcal/h gehen durch Strahlungsverluste und Konvektion verloren, der Rest muß durch Wasserkühlung abgeführt werden [4].

Electrolytic Cells

Literatur:

- [1] J. Dykstra, B. H. Thompson, W. C. Paris (Ind. Eng. Chem. **50** [1958] 181/6). – [2] J. Dykstra, S. Katz, C. B. Clifford, E. W. Powell, G. H. Montillon (Ind. Eng. Chem. **47** [1955] 883/7). – [3] A. P. Huber, J. Dykstra, B. H. Thompson (Proc. 2nd U.N. Intern. Conf. Peaceful Uses At. Energy, Geneva 1958, Bd. 4, S. 172/80). – [4] D. C. Brater, S. H. Smiley (Progr. Nucl. Energy III **2** [1958] 136/48, 145). – [5] Union Carbide Nuclear Co. (CAPE-55 [1964]; N.S.A. **18** [1964] Nr. 6584).
- [6] D. Sianesi (Chim. Ind. [Milan] **46** [1964] 883/94). – [7] H. R. Neumark, J. M. Siegmund (in: Kirk-Othmer, Encyclopedia of Chemical Technology, 2. Aufl., Bd. 9, New York-London-Sydney 1966, S. 506/26). – [8] J. Massonne (in: W. Foerst, Ullmanns Encyklopädie der technischen Chemie, 3. Aufl., Erg.-Bd., München-Berlin 1970, S. 447/9). – [9] N. Watanabe, M. Inoue, S. Yoshizawa (J. Electrochem. Soc. Japan **31** [1964] 168/73). – [10] A. J. Rudge (in: A. Kuhn, Industrial Electrochemical Processes, Amsterdam 1971, S. 1/69).

Procedure
Industrial
Electro-
lysis

1.2.2.2.3 Durchführung der technischen Elektrolyse

1.2.2.2.3.1 Mit KF-HF-Elektrolyten

In modernen F_2 -Zellen wird als Elektrolyt eine geschmolzene KF-HF-Mischung mit 38 bis 42 Gew.-% HF und Schmelztemperaturen zwischen 80 und 110°C verwendet. Das Zustandsdiagramm KF-HF wurde 1934 von Cady [1] untersucht, s. dazu „Kalium“ 2, 1937, S. 344. Auf

With
KF-HF-
Electro-
lytes